

濁水密度流に関する基礎的研究(才了稿) - 発生条件について -

京都大学防災研究所 正員 芦田和男

同上

正員 江頭進治

1. 緒言: 微細粒子による貯水池密度流の発生および流動機構の究明は努められているが、ここではその流動機構と図-1に示す領域①の形成に關する水理変数について考察する。

2. 等流領域の形成過程とこの領域での流況特性: 一定速度の濁水と定常的に循環せよと図-1のような密度流が形成される。領域①の形成条件の一つは進行速度 $U_0=0$ が存せられ、このことと粒子沈降速度 (w_0) を考慮した二次元物質輸送の連続式において鉛直方向濃度分布の定常性を仮定することとはほぼ同一

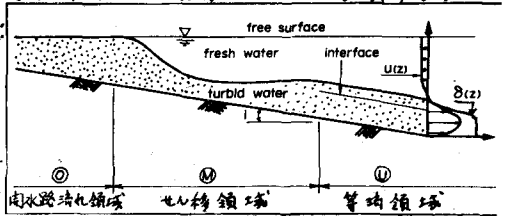


図-1 流下方向流況の模式図

に意味をもつことから領域①の形成には比較重要な役割を果たしていると考えられる。これは定常性の仮定から、領域 $d_1 \le z \le d$ における gradient form Ri 数 (Ri) と w_0 との關係が (1) 式のように求められる。ここに δ_0 : 境界面 ($z=d$) におけるプラントルの混合距離、 δ_0 : 流入濁

$Ri = (\delta_0 g \beta d_2) / (\rho U_{nd}^2) \cdot (w_0 / U_{nd}) \dots (1)$, $\beta = \rho_0 / \rho_2 \dots (2)$

水と清水 (ρ_0) との密度差、 $\rho = (2\rho_1 + \rho_0) / 2 \approx \rho_1$, 他は図-2参照。なお領域 $0 \le z \le d_1$ における流速および密度差分布の結果の計を別記するとつぎのとおりである。

$U(z) / U_{nb} = Ar + K_1 \ln \frac{z}{d_1} \dots (3)$

$U_1 / U_{nb} = Ar + \frac{1}{2} K_1 (\ln \frac{d_1}{d_2} - 1) \dots (4)$

$\delta(z) = \delta_0 = \text{const.} \cdot (C(z) = C_0 = \text{const.}) \dots (5)$

$U(z) / U_{nd} = \frac{U_m}{U_{nd}} - \frac{1}{2} K_2 \ln \frac{\beta + K_2}{\beta + K_2(d-z)/d_2} \dots (6)$

$U_2 / U_{nd} = \frac{U_m}{U_{nd}} - \frac{1}{2} K_2 \left\{ K_2 - \beta \ln \frac{\beta + K_2}{\beta} \right\} \dots (7)$

$\delta(z) = \delta_0 - \frac{Ri \rho U_{nd}^2}{g d_1 K_2} \left(\frac{\beta + K_2(d-z)/d_2}{\beta + K_2} - \frac{1}{\beta + K_2} \right) \dots (8)$

$U_{m3} = (\delta_0 \rho_1 g d_1 i)^{1/2} \dots (9)$ $U_{nd} = (\delta_2 \rho_1 g d_2 l)^{1/2} \dots (10)$

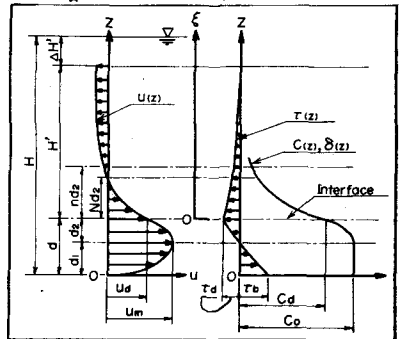


図-2 理論式計算のたりの模式図

ここに $\delta_2 = \frac{1}{2} \int_{d_1}^d \delta dz$, $U_m = (Ar + K_1 \ln \frac{d_1}{d_2}) U_{nb}$, i : 水路こう配, l : 水路床面粗度高さ, K_1 : カルマン定数, K_2 : 領域 $d_1 \le z \le d$ の混合距離の分布を決める係数である。さらに流入濁水の単位幅流量 (δ) は (11) 式のように表すことができる。

3. 領域 $0 \le z \le n d_2$ の流速分布および密度差分布 (濃度分布): $z = n d_2$ あるいは $z = m d_2$ は

それと $U(n d_2) = 0$ あるいは $\delta(n d_2) \ll \delta_0$ とする位置である (図-2参照)。この領域では滑動粘性 (E) が分子粘性 (ν) に比し卓越していると考えられ、さらに $E(z) = \text{const.} = \beta d_2 U_{nd}$ と仮定し、流速分布についてはせん断力 (τ) の直線分布、密度差分布については滑動拡散係数 (E_s) を (12) 式で近似するとともに平衡状態と仮定することにより、それとこれとを分布形が (13), (14) 式のように求められる。

$E_s \approx E = \beta d_2 U_{nd} \dots (12)$

$U(z) / U_{nd} = \frac{U_d}{U_{nd}} - \frac{1}{2} \left(\frac{z}{d_2} \right) + \frac{1}{2} N \cdot \frac{U_{nd}}{w_0} \left(\frac{z}{d_2} \right)^2 \dots (13)$, $\delta(z) = \delta_d \exp \left[- \frac{w_0}{U_{nd}} \cdot \frac{z}{d_2} \right] \dots (14)$

ここに $A = \{1 - b_5 (w_0 / U_{nd})\} / \{1 - (b_1 - b_5) \rho_0 K_1 w_0 / U_{nd}\}$, $N = (U_d / U_{nd} + b_1 - b_5) / (\frac{1}{2} \beta - \frac{1}{2} U_{nd} / w_0)$, $b_1 = \frac{1}{2} K_2 (K_2 - \beta b_0)$, $b_2 = b_0 - K_2 b_5$, $b_3 = \frac{1}{2} K_2 \{ \frac{1}{2} b_0^2 + \beta b_5 b_0 - K_2 b_5 \}$, $b_4 = K_2 b_1$, $b_5 = \frac{1}{\beta + K_2}$, $b_6 = \ln (\beta + K_2) / \beta$ である。

4. 物質輸送の連続式および抵抗則: $N < n$ の場合に逆向き輸送を考慮するため絶対値流速 $|U(z)|$ を用いると連続式は(15)式のように表わされ、この式に2,3.章の結果を代入すると U_2/U_{nd} が ω_0/U_{nd} の関数として(16)式のように求められる。

$$\varphi \varphi_0 = \int_0^{d+n_d} |U(z)| \delta(z) dz \quad \dots (15)$$

$$U_2/U_{nd} = R_U/R_L = F(\omega_0/U_{nd}) \quad \dots (16)$$

ここに $R_U = b_4 - b_1 + \frac{U_{nd}}{\omega_0} \{ 1 - 2r + r' + \beta AR \frac{U_{nd}}{\omega_0} - \frac{A(1-r)}{N} (\beta \frac{U_{nd}}{\omega_0})^2 - \frac{\pi^2}{2N} AR' \} + (b_4 - b_1 + \frac{\pi}{\beta}) r' + \beta A (\frac{U_{nd}}{\omega_0})^2 \{ r - \frac{\pi^2}{N} r' + \beta \frac{U_{nd} r r'}{\omega_0 N} \} - \frac{b_2 - b_1 b_2 (\frac{\omega_0 U_{nd}}{k_2})}{k_2^2 (1 - b_2 \frac{\omega_0 U_{nd}}{k_2})}$
 $R_L = 1 + r' - \frac{b_2 (\omega_0 U_{nd})}{k_2^2 (1 - b_2 \frac{\omega_0 U_{nd}}{k_2})}$, $r = \exp[-\frac{\omega_0}{\beta U_{nd}} N]$, $r' = \exp[-\frac{\omega_0}{\beta U_{nd}} n]$ によって示されるが、 $n \leq N$ の場合は $r' = 0$ である。(16)式において $\beta = 0.068$, $k_2 = 0.18$ とおき $n=2$ とすると図-3に示す結果が得られる。2,3.4.章の議論から水理条件 $\varphi_0, \omega_0, \varphi, \delta$ および $U_1, U_2, d_1, d_2, U_{nb}, U_{nd}$ が(1),(4),(9),(10),(11),(16)式から求められる。 U_{nd} および d_1 に関する方程式を示すと(17)および(18)式のようになる。

$$\{ Ar + k_2 (\ln \frac{d_2}{d_1} - 1) \} d_1^3 + \frac{U_{nd}^2}{a^2} F(\frac{\omega_0 U_{nd}}{U_{nb}}) / [1 - (b_2 - b_1) \frac{\omega_0}{k_2} \frac{U_{nd}}{U_{nb}}] = \varphi \quad \dots (17)$$

$$(Ar + k_2 \ln \frac{d_2}{d_1}) d_1^2 = U_{nd} \{ b_1 + F(\frac{\omega_0 U_{nd}}{U_{nb}}) \}, \quad (\alpha = \varphi_0 \varphi / \rho) \quad \dots (18)$$

5. 領域①の形成条件について: 2.章の前半において流量と水深の条件が充たされている場合、領域①の形成に ω_0 が重要な役割を果たすことを述べたが、ここではこのような密度流が存在するとして、この流れを保持するための流量、水深(H)および堆積条件について考察する。(16)式の解の存在域は $0.04 \leq \frac{\omega_0 U_{nd}}{U_{nb}} \leq 0.15$ で、 $\omega_0 U_{nd} = 0.04$ のとき(17)式は最小流量 φ_{min} となり、この関係が図-4に示されている。領域①での堆積条件 $(\frac{\omega_0}{U_{nb}})$ を考慮すると φ_{min} は若干変化するが、これらの曲線の左側の流量では定常等流状態は保持されないと考えよう。つぎに $\xi = Nd_1$ と $\xi = Nd_1 + \alpha (\Delta \text{微小量})$ の速度こう配の条件から必要最小全水深条件が(19)式のように示された。

$$H_{min} \geq d_1 + [1 + N + \frac{3(\omega_0 U_{nd}) - 2A\beta}{2(\omega_0 U_{nd} - \beta)}] \frac{1}{2} N d_2 \quad \dots (19) *$$

以上の議論から、 $\varphi_{min} \ll \varphi$ のときは ω_0 および H が、 $\varphi \approx \varphi_{min}$ では堆積条件が領域①の形成に重要な意味をもっていることが考察される。

なお副題の発生条件については考察できなかったが、 $\partial \varphi_x / \partial x = 0$, $\partial \varphi_z / \partial z = \text{const} > 0$ (B:水路幅, A:流水断面積, x:流下方向距離) に近似できる貯水池のようなところには図-5のような水理量が流入した場合、領域①から(M)1の移行条件(=この発生条件)については本章で明らかにした水理変数から $t = t_1$ に流入した濁水の先端近傍での縦分散および拡散を考慮することによって議論できるものと考えられている。なお本報からわかる濃度分布と密度差分布とはほぼ同意である。最後に有意義な議論をしていただいた当研究所の高橋保助教授をはじめ同面作成などでお世話になった吉田義則技官に感謝いたします。

参考文献: 1) 吉田・高橋・江頭「混濁密度流に関する基礎的研究(才1報)」, 内西支部年報, 昭和6 2) 吉田・高橋・江頭「混濁密度流に関する基礎的研究(才2報)」, 内西支部年報, 昭和10 *) この式は議論時に述べた。

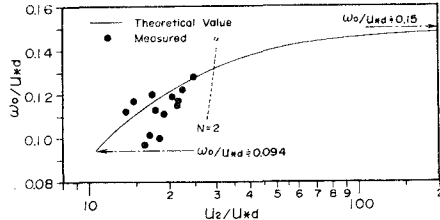


図-3 領域 $d_1 \leq z \leq d_2$ における清水の抵抗

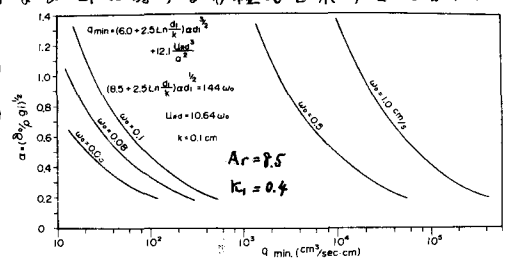


図-4 α および ω_0 と最小流量との関係

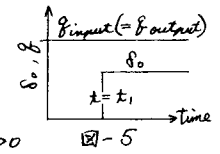


図-5